

05,12

## Синтез и магнитные свойства цинк-теллуритных стекол, активированных наночастицами магнетита

© М.В. Шестаков<sup>1</sup>, И.И. Макоед<sup>2,\*†</sup>, В.В. Moshchalkov<sup>3</sup>

<sup>1</sup> Российский государственный аграрный университет — Московская сельскохозяйственная академия им. К.А. Тимирязева, Москва, Россия

<sup>2</sup> Брестский государственный университет им. А.С. Пушкина, Брест, Беларусь

<sup>3</sup> Katholieke Universiteit Leuven, Leuven, Belgium

\* E-mail: igmak2010@yandex.by

Поступила в Редакцию 16 марта 2023 г.

В окончательной редакции 16 марта 2023 г.

Принята к публикации 17 марта 2023 г.

Исследовано влияние активирования наноразмерными частицами  $\text{Fe}_3\text{O}_4$  на структурные и магнитные свойства цинк-теллуритных стёкол  $20 \cdot \text{ZnO} - (80 - x)\text{TeO}_{2-x}\text{Fe}_3\text{O}_4$  ( $x = 0, 1, 3, 7$ ), синтезированных методом охлаждения расплава. Функциональные свойства стекол экспериментально исследованы методами рентгеновской дифракции, энергодисперсионной и рамановской спектроскопии и сквид-магнитометрии. Рассчитанные по методам Шерера и Вильямсона—Холла величины среднего размера кристаллитов сопоставимы с восстановленными на основе результатов обработки магнитополевых зависимостей величин удельных намагниченностей, размежевыми магнитоактивными кластерами, что свидетельствует об их влиянии на изменение магнитных свойств активированных стекол. Выявлено обусловленное окислением катионов  $\text{Fe}^{2+}$  до  $\text{Fe}^{3+}$  частичное фазовое превращение ферримагнитного магнетита  $\text{Fe}_3\text{O}_4$  в парамагнитный магнетит  $\gamma\text{-Fe}_2\text{O}_3$ .

**Ключевые слова:** стекло; стеклокерамика; оксид теллура; оксид цинка; оксид железа; магнетизм.

DOI: 10.21883/00000000000

### 1. Введение

Для стекол и стеклокерамик, синтезируемых на основе двойной системы  $\text{TeO}_2-\text{ZnO}$ , характерна хорошая растворимость оксидов различных химических элементов, относительно низкая температура плавления, высокая способность к стеклообразованию. Подобные материалы являются перспективными матрицами для синтеза новых функциональных материалов с заданными физическими свойствами. Получение стекол из номинально чистого оксида  $\text{TeO}_2$  затруднено в связи с высокой вероятностью кристаллизации стекла при охлаждении из расплава [1]. В связи с этим, при синтезе стекол к  $\text{TeO}_2$  часто добавляют различные модификаторы. Часто с такой целью используют оксид цинка  $\text{ZnO}$  [2,3]. Перспективным методом модификации физических свойств стекол является одновременное добавление в состав нескольких оксидов различных химических элементов в состав двойной системы  $\text{TeO}_2-\text{ZnO}$  [4,5].

Активирование стекол различными оксидами железа обычно производят с целью создания мультиферроиков [6–8] или спиновых стекол [9]. Магнетит  $\text{Fe}_3\text{O}_4$  считается одним из наиболее перспективных материалов для использования в качестве активатора цинк-теллуритных стекол благодаря присущей ему химической устойчивости, а также высоким значениям удельной намагниченности и магнитной проницаемости [10].

Представляет интерес синтез и исследование физических свойств активированных магнетитом стекол и стеклокерамик, с целью выяснения условий получения и определения оптимальных величин концентраций легирующих частиц. Несмотря на интенсивные исследования в области поиска новых магнитных материалов, синтезируемых на основе стекол, работ, в которых описаны условия и результаты синтеза и исследования подобных соединений, известно относительно немного [7,11].

Целью настоящей работы является исследование влияния активирования наноразмерными частицами магнетита на физические свойства стекол и стеклокерамик состава  $20 \cdot \text{ZnO} - (80 - x)\text{TeO}_{2-x}\text{Fe}_3\text{O}_4$  ( $x = 0, 1, 3, 7$ ).

### 2. Методика эксперимента

Номинально чистые и активированные наноразмерными частицами магнетита цинк-теллуритные стекла синтезированы методом охлаждения расплава. В качестве исходных компонент использованы  $\text{TeO}_2$  (puratronic grade, Alfa Aesar,  $\text{ZnO}$  (puratronic grade, Alfa Aesar) и нанопорошок  $\text{Fe}_3\text{O}_4$  (50–100 nm, 97%, Sigma-Aldrich). Составы шихты стекол могут быть описаны общей формулой  $20 \cdot \text{ZnO} - (80 - x)\text{TeO}_{2-x}\text{Fe}_3\text{O}_4$ , где  $x = 0, 1, 3, 7$  мольных процентов. Стехиометрические составы шихты были тщательно смешаны в ступке и по-

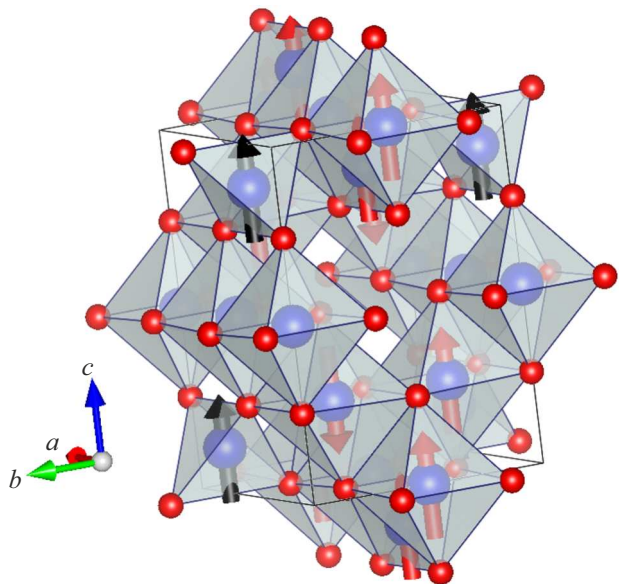
мешены в корундовый тигель. Тигель накрывали крышкой, чтобы избежать испарения компонент расплава, и помещали в муфельную печь с вертикальной загрузкой, предварительно разогретую до температуры 850°C. После выдержки при указанной температуре в течении 20 min. тигель извлекали из печи, и расплав выливали в алюминиевую форму при комнатной температуре. Стеклокерамика была получена после охлаждения расплава в алюминиевой форме до 400°C и последующего отжига при температуре 400°C в течение 1 h.

Дифрактограммы (диапазон углов  $2\theta$  — от 10 до 60°, шаг 0.025°) были получены на рентгеновском дифрактометре PANalytical X'Pert Pro с излучением  $\text{Cu } K_{\alpha}$  ( $\lambda = 1.5418 \text{ \AA}$ ). Результаты полнопрофильного анализа дифрактограмм по методу Ритвельда получены с использованием программы JANA2020 [15]. Структуру образцов стеклокерамик определяли на основе анализа дифрактограмм, записанных при комнатной температуре на дифрактометре ДРОН 3М в диапазоне углов  $2\theta$  от 5° до 100° с шагом 0.04° с использованием излучения  $\text{Cu } K_{\alpha}$  ( $\lambda = 1.5418 \text{ \AA}$ ). Энергодисперсионный рентгенофлюоресцентный анализ выполнен с использованием Oxford-Instruments INCA 400 с детектором X-Max. Спектры комбинационного рассеяния измерены на спектрально-аналитическом комплексе на основе сканирующего конфокального микроскопа Nanofinder (СП „ЛОТИС ТИИ“, Республика Беларусь) с использованием дифракционной решётки 600 grooves/mm. Запись спектров проведена с использованием оптического объектива с увеличением 100× в течение 30 s с лазером с длиной волны 473 nm и мощностью 800  $\mu\text{W}$ . Магнитополевые зависимости величин удельных намагниченностей образцов измерены на приборе Quantum Design MPMSXL-5 при комнатной температуре и температуре 5 K.

### 3. Результаты и обсуждение

Магнетит представляет собой оксид со структурой обращенной шпинели, содержащий разновалентные катионы  $\text{Fe}^{3+}$  и  $\text{Fe}^{2+}$ . Обращение обусловлено тем, что катионы  $\text{Fe}^{3+}$  занимают тетраэдрические и половину октаэдрических положений, образованных анионами кислорода, а катионы железа  $\text{Fe}^{2+}$  занимают половину октаэдрических положений. Формула, записанная в виде  $(\text{Fe}^{3+})_{\text{tetra}}[\text{Fe}^{2+}\text{Fe}^{3+}]_{\text{octa}}\text{O}_4$ , отражает катионное распределение и магнитную структуру, которая представлена на рис. 1.

Аморфная структура стекол подтверждается присутствием широкого рефлекса с размытым максимумом в окрестности  $2\theta = 28^\circ$  и отсутствием каких-либо узких рефлексов характерных для кристаллических фаз. На дифрактограмме стеклокерамики на фоне рентгеноаморфного отклика, соответствующего номинально чистому (недопированному) цинк-теллуритному стеклу обнаружен ряд узких острых пиков, относящихся к фазе  $\text{Fe}_2\text{O}_3$ . Линии, связанных с фазой магнетита, не



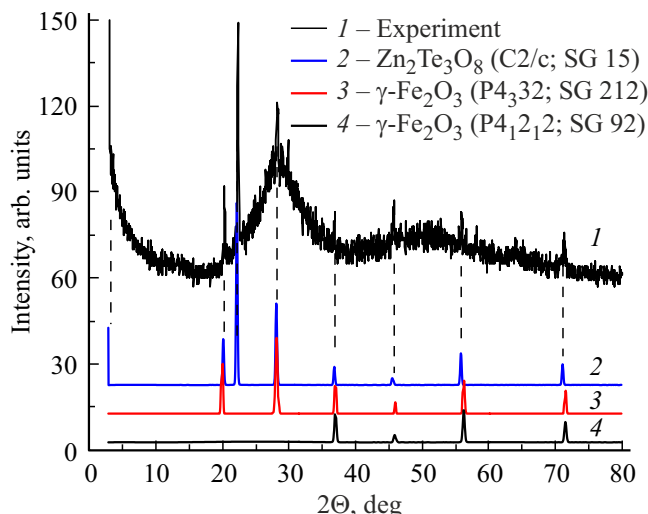
**Рис. 1.** Фрагмент кристаллической и магнитной структуры магнетита.

выявлено. Данный факт объясняется тем, что синтез образцов происходит в жидкой среде при относительно высокой температуре. При нагреве магнетита до температур выше 300°C наблюдается его термическое разложение с образованием ряда оксидов железа [16–18]. Наиболее известными из оксидов, появление которых возможно в зависимости от условий синтеза, являются  $\alpha\text{-Fe}_2\text{O}_3$  (space group  $R\bar{3}\bar{c}$  с параметрами  $a = 5.034 \text{ \AA}$  and  $c = 13.752 \text{ \AA}$ ),  $\beta\text{-Fe}_2\text{O}_3$  ( $I\bar{a}\bar{3}$  с  $a = 9.393 \text{ \AA}$ ),  $\gamma\text{-Fe}_2\text{O}_3$  ( $Fd\bar{3}m$  с  $a = 8.351 \text{ \AA}$ ),  $\varepsilon\text{-Fe}_2\text{O}_3$  ( $Pna2_1$  с  $a = 5.072 \text{ \AA}$ ,  $b = 8.736 \text{ \AA}$  и  $c = 9.418 \text{ \AA}$ ) [17,18]. Данные фазы сложно разделить на экспериментальной дифрактограмме, так как им соответствуют близкие значения углов дифракции, а интенсивность линий мала.

Результаты анализа дифрактограмм свидетельствуют о том, что ни одна из названных фаз, как и исходный магнетит, не может быть соотнесена с экспериментальными данными. При синтезе активированным наночастицами магнетита стекла вследствие окисления и диффузии атомов железа в расплаве, образуются кластеры оксидов железа. В зависимости от температуры и длительности процесса синтеза возможно образование и сосуществование разных фаз. Наноразмерные частицы оксида  $\gamma\text{-Fe}_2\text{O}_3$  часто описывают в архетипической пространственной группе шпинели  $Fd\bar{3}m$ . Это затрудняет надежное различение магнетита и структур магнетита, с различным упорядочением вакансий. В отличие от  $\text{Fe}_3\text{O}_4$ , содержащего как трехвалентные ионы  $\text{Fe}^{3+}$ , так и двухвалентные ионы  $\text{Fe}^{2+}$ , в  $\gamma\text{-Fe}_2\text{O}_3$  все катионы железа находятся в трехвалентном состоянии. Зарядовая нейтральность в структуре шпинели  $\gamma\text{-Fe}_2\text{O}_3$  поддерживается введением вакансий ( $\Delta$ ) в октаэдрически координированные катионные позиции.

**Таблица 1.** Восстановленные по методу Ритвельда параметры кристаллических решеток ( $a$ ,  $b$ ,  $c$ ,  $\alpha$ ,  $\beta$ ,  $\gamma$ ) и критерии фитинга (GOF,  $R_p$ ,  $wR_p$ )  $Zn_2Te_3O_8$  и  $\gamma$ - $Fe_2O_3$  фаз стеклокерамики

Материал	Пространственная группа (№)	Параметры решетки						Подгоночные параметры
		$a$ , Å	$b$ , Å	$c$ , Å	$\alpha$	$\beta$	$\gamma$	
$Zn_2Te_3O_8$	C2/c (15)	12.7100	5.2100	11.820	90	100	90	GOF = 0.19 $R_p$ = 3.05 $wR_p$ = 10.11
$\gamma$ - $Fe_2O_3$	P4 <sub>3</sub> 32 (212)	8.3457	8.3457	8.3457	90	90	90	GOF = 0.37 $R_p$ = 7.13 $wR_p$ = 20.59
$\gamma$ - $Fe_2O_3$	P4 <sub>1</sub> 2 <sub>1</sub> 2 (92)	8.5604	8.5604	25.9039	90	90	90	GOF = 0.46 $R_p$ = 6.35 $wR_p$ = 9.60



**Рис. 2.** Экспериментальная дифрактограмма образца стеклокерамики  $20 \cdot ZnO - 79 \cdot TeO_2 - 1 \cdot Fe_3O_4$  и рассчитанные дифрактограммы  $Zn_2Te_3O_8$  и двух модификаций  $\gamma$ - $Fe_2O_3$ .

Как свидетельствуют результаты, представленные в работе [19], конфигурация  $\gamma$ - $Fe_2O_3$  с пространственной группой P4<sub>1</sub>2<sub>1</sub>2 является наиболее устойчивой по отношению к другим возможным структурам, так как она представлена наибольшей однородностью распределения катионов железа и вакансий. Поэтому как наиболее вероятные были исследованы модификации маггемита  $\gamma$ - $Fe_2O_3$  кристаллохимические формулы которых [20]: 1)  $(Fe^{3+})[Fe_{5/3}^{3+}\Delta_{1/3}] (O^{2-})$  (Space group FD $\bar{3}$ m (227), Lattice parameters  $a = b = c = 8.3540$  Å,  $\alpha = \beta = \gamma = 90^\circ$ , JCPDS card 04-013-7114); 2)  $(Fe_8^{3+})[Fe_{4/3}^{3+}\Delta_{8/3}Fe_{12}^{3+}] (O^{2-})_{32}$  (P4<sub>3</sub>32 (212),  $a = b = 8.3296$  Å,  $c = 8.3221$  Å,  $\alpha = \beta = \gamma = 90^\circ$ , JCPDS card 04-016-4344); 3)  $(Fe_{24}^{3+}[Fe_{40}^{3+}\Delta_8] (O^{2-})_{96}$  (P4<sub>1</sub>2<sub>1</sub>2 (92),  $a = b = 8.3470$  Å,  $c = 25.0100$  Å,  $\alpha = \beta = \gamma = 90^\circ$ , JCPDS card 04-007-2135).

Результаты, приведенные на рис. 2 иллюстрируют сложность идентификации различных фаз в исследуемых образцах стеклокерамики. В табл. 1 представлены результаты обработки дифрактограммы по методу Ритвельда с учетом возможного наличия и существования различных фаз.

Дифракционные пики тетрагонального маггемита с полностью упорядоченным распределением вакансий (пространственная группа P4<sub>1</sub>2<sub>1</sub>2) подтверждают частичное фазовое превращение магнетита в маггемит вследствие процессов окисления и диффузии. Средняя степень окисления железа, степень упорядочения вакансий и магнитные свойства зависят от метода синтеза, условий реакции и размеров наночастиц. Для изучения структуры и оценки среднего размера кристаллитов по методам Шерера и Вильямсона–Холла использована дифрактограмма стеклокерамики, изображенная на рис. 3, a.

Средний размер кристаллитов  $D_S$  синтезированной стеклокерамики рассчитан методом уширения рентгеновских линий с использованием формулы Шеррера [21]:

$$D_S = \frac{K \cdot \lambda}{\beta \cdot \cos \theta}, \quad (1)$$

где  $K = 0.89$  — постоянная Шеррера, связанная с формой кристаллита;  $\lambda$  — длина волны рентгеновского излучения  $Cu K_\alpha$  (0.15418 nm);  $\beta$  — интегральная ширина пика;  $\theta$  — угол Брэгга в радианах. Учитывая, что интегральная ширина пика на дифракционной картине аппроксимируется функцией псевдо-Фойгта с большим (до 90% или больше) вкладом функции Лоренца, лоренциан был использован для описывания формы дифракционного отражения при  $2\theta \approx 22.34^\circ$ .

Размер ( $D_{WH}$ ) кристаллитов и вызванное микродеформацией решетки ( $\varepsilon$ ) уширение брэгговской дифракции пиков стеклокерамики были рассчитаны по методу

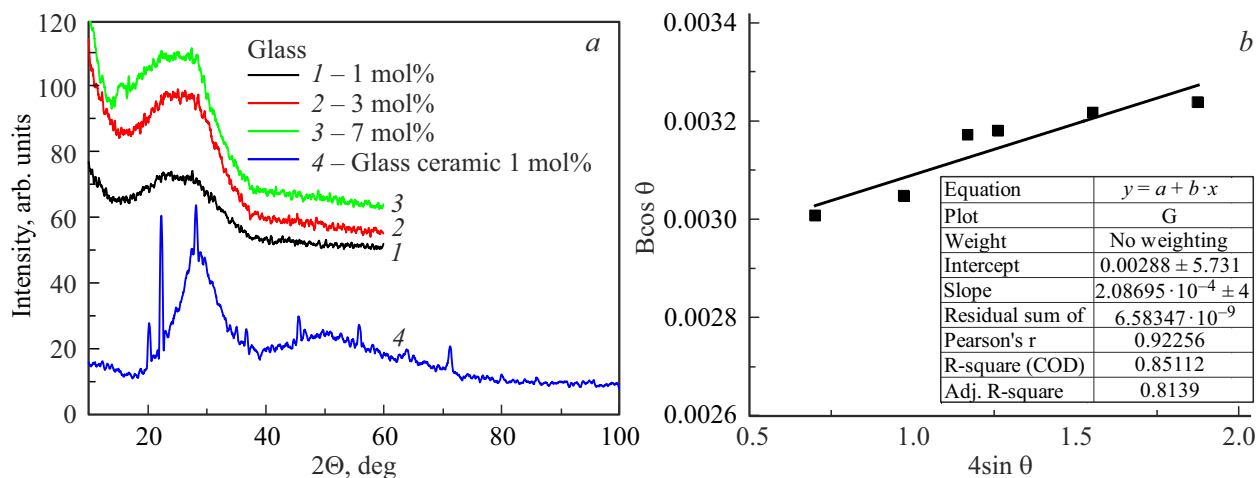


Рис. 3. Дифрактограммы стекол  $20 \cdot \text{ZnO} - (80 - x) \cdot \text{TeO}_2 - x \cdot \text{Fe}_3\text{O}_4$  ( $x = 0, 1, 3, 7$ ) и стеклокерамики  $20 \cdot \text{ZnO} - 79 \cdot \text{TeO}_2 - 1 \cdot \text{Fe}_3\text{O}_4$  (а). Зависимость Вильямсона—Холла образца стеклокерамики  $20 \cdot \text{ZnO} - 79 \cdot \text{TeO}_2 - 1 \cdot \text{Fe}_3\text{O}_4$  (б).

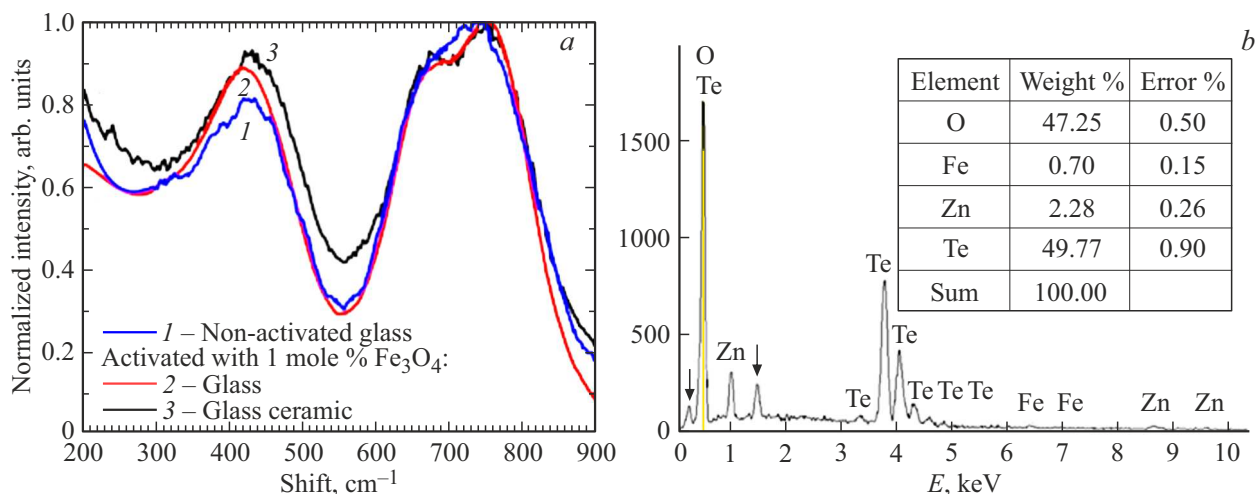


Рис. 4. Спектры комбинационного рассеяния (а) стекол  $20 \cdot \text{ZnO} - 80 \cdot \text{TeO}_2$  и  $20 \cdot \text{ZnO} - 79 \cdot \text{TeO}_2 - 1 \cdot \text{Fe}_3\text{O}_4$  и стеклокерамики  $20 \cdot \text{ZnO} - 79 \cdot \text{TeO}_2 - 1 \cdot \text{Fe}_3\text{O}_4$ . Данные энергодисперсионного анализа (б) состава образца стеклокерамики  $20 \cdot \text{ZnO} - 79 \cdot \text{TeO}_2 - 1 \cdot \text{Fe}_3\text{O}_4$ .

Вильямсона—Холла [22]:

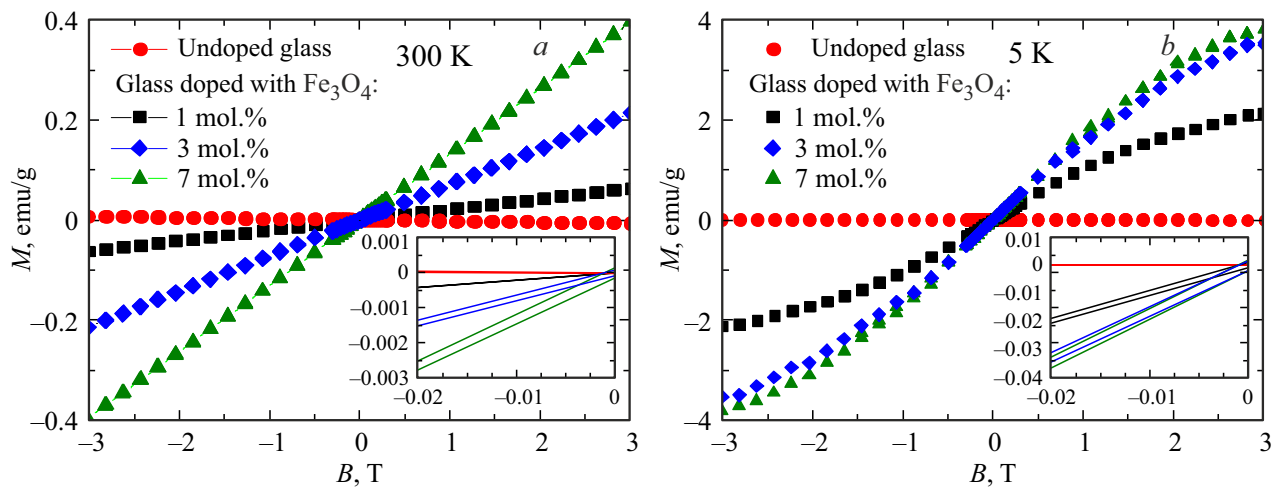
$$\beta_{hkl} \cdot \cos \theta_{hkl} = \frac{K \cdot \lambda}{D_{WH}} + 4\epsilon \cdot \sin \theta_{hkl}, \quad (2)$$

здесь структурные константы  $K$ ,  $\lambda$  и  $\beta_{hkl}$  имеют тот же смысл, что и в формуле Шеррера (1),  $D_{WH}$  — размер зерен кристаллитов. Для образца стеклокерамики  $20 \cdot \text{ZnO} - 79 \cdot \text{TeO}_2 - 1 \cdot \text{Fe}_3\text{O}_4$  величина  $D_{WH}$  размера кристаллитов, восстановленная из графика Вильямсона—Холла (рис. 3, б), составляет 47.65 нм, что достаточно хорошо коррелирует с данными оценки по формуле Шерера ( $D_S \sim 50$  нм). Напряжения также вносят свой вклад в уширение линий дифракционных пиков, и абсолютное значение величины  $\epsilon$ , полученное на основании данных анализа графика Вильямсона—Холла положительно и равно 0.0028. Данные параметры долж-

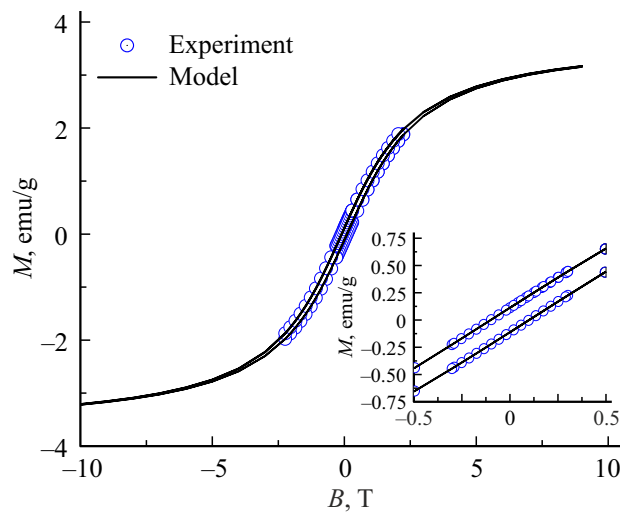
ны влиять на структурно чувствительные магнитные свойства образцов.

С целью аттестации структуры и состава образцов был выполнен энергодисперсионный анализ, и записаны спектры комбинационного рассеяния света при комнатной температуре, представленные на рис. 4, а. Результаты энергодисперсионного анализа стеклокерамики изображены на рис. 4, б, и подтверждают химическую чистоту состава образца  $20 \cdot \text{ZnO} - 79 \cdot \text{TeO}_2 - 1 \cdot \text{Fe}_3\text{O}_4$ . Вертикальные стрелки указывают на сигнал от материала подложки. В спектре присутствуют характеристические пики, относящиеся к Te, Zn, Fe и O. Весовые проценты указанных элементов приведены в таблице на вставке рис. 4, б.

В спектрах наблюдаются широкие полосы характерные для цинк-теллуритных стекол. Широкая полоса с



**Рис. 5.** Измеренные при температурах (а) 300 К и (б) 5 К магнитополевые зависимости величин удельных намагниченностей стекол 20 · ZnO – 80 · TeO<sub>2</sub> (кружки), 20 · ZnO – 79 · TeO<sub>2</sub> – 1Fe<sub>3</sub>O<sub>4</sub> (квадраты), 20 · ZnO – 77 · TeO<sub>2</sub> – 3Fe<sub>3</sub>O<sub>4</sub> (ромбы) и 20 · ZnO – 73 · TeO<sub>2</sub> – 7Fe<sub>3</sub>O<sub>4</sub> (треугольники).



**Рис. 6.** Экспериментальная (точки) и рассчитанная (линия) по формуле (3) петли гистерезиса образца стеклокерамики 20 · ZnO – 79 · TeO<sub>2</sub> – 1Fe<sub>3</sub>O<sub>4</sub> при температуре 5 К.

максимумом в диапазоне от 400 до 500  $\text{cm}^{-1}$  связана с растяжением и сжатием мостиковых связей Te–O–Te в структурных комплексах TeO<sub>4</sub>, TeO<sub>3</sub>, TeO<sub>3+δ</sub>. Две широкие полосы комбинационного рассеяния, расположенные между 600 и 900  $\text{cm}^{-1}$ , вызваны колебаниями решетки, состоящей из тригональных бипирамид TeO<sub>4</sub>, антисимметричными колебаниями химических связей Te–O–Te и растяжением немостиковых связей Te–O [23]. При активировании стекла оксидом железа, обнаружен относительный рост интенсивности широкой полосы с максимумом около 420–430  $\text{cm}^{-1}$ , что указывает на растворение оксида железа в стекле, сопровождающееся разрывом мостиковых связей Te–O–Te [23].

Подтверждением появления в результате активирования стекла 20 · ZnO – 80 · TeO<sub>2</sub> магнитных фаз в исследуемых материалах являются магнитополевые зависимости величин удельных намагниченостей, изображенные на рис. 5, а, б.

Как видно, стекло, не активированное оксидом железа, диамагнитно. Зависимости  $M(B)$  активированных магнетитом стекол при комнатной температуре практически линейны, и отражают парамагнитное поведение материала образцов. Наличие малого коэрцитивного поля при комнатной температуре указывает на то, что частицы не ведут себя как суперпарамагнитные. При низких (5 К) температурах магнитополевые зависимости имеют S-образную форму с открытыми петлями гистерезиса, характерными ферромагнитным материалам с малыми значениями коэрцитивных полей и величин остаточных удельных намагниченостей. В магнитных полях до 2 Т не происходит насыщение намагниченности. С целью оценки размеров магнитных частиц было выполнено моделирование петель гистерезиса образцов с использованием выражения [24]:

$$M = M_s \frac{2}{\pi} \operatorname{arctg} \left( \frac{B \pm B_c}{B_T} \right), \quad (3)$$

где  $\mathbf{B}_c = \mathbf{H}_c \cdot \mu_0$  — величина коэрцитивного поля,  $B_T$  — величина порогового поля анизотропии, выше которого намагниченность образца является однородной. Величину удельной намагниченности насыщения  $M_s$  вариировали таким образом, чтобы достигнуть наилучшего совпадения модельной и экспериментальной кривой. Результаты моделирования кривой образца стекла 20 · ZnO – 79 · TeO<sub>2</sub> – 1Fe<sub>3</sub>O<sub>4</sub> изображены на рис. 6. Значения размера частиц  $D$ , восстановленных из данной зависимости, сопоставимы по абсолютной величине с данными, полученными по формуле Шерера. Корреляция величины удельной намагниченности насыщения, с

**Таблица 2.** Удельные остаточные ( $M_r$ ), удельные намагниченности насыщения ( $M_s$ ), величины коэрцитивных полей ( $B_c$ ), величины магнитных моментов ( $\mu$ ) и размеров ( $D$ ) наночастиц образцов стекол  $20 \cdot \text{ZnO}-(80-x)\text{TeO}_{2-x}\text{Fe}_3\text{O}_4$  ( $x = 0; 1; 3; 7$ )

Состав (mol%)	5 К				300 К				$D$ (nm)
	$M_r$ (emu/g)	$B_c$ (T)	$M_s$ (emu/g)	$\mu$ ( $\mu_B$ )	$M_r$ (emu/g)	$B_c$ (T)	$M_s$ (emu/g)	$\mu$ ( $\mu_B$ )	
1	0.00099	0.00900	3.700	8.60	0.0000012	0.00100	0.120	0.28	34.6
3	0.00160	0.00098	5.700	9.03	0.000068	0.0013	0.350	0.53	29.9
7	0.00175	0.00082	6.100	8.92	0.00014	0.0096	0.650	0.92	29.3

концентрацией наночастиц активатора, а именно, уменьшение величины  $M_s$  с ростом размера частиц магнитных областей свидетельствует об их влиянии на магнитные свойства активированных магнетитом стекол.

Параметры петель гистерезиса образцов стекол при температурах 5 К и 300 К и восстановленные величины магнитных моментов ( $\mu$ ) и размеров ( $D$ ) наночастиц образцов приведены в табл. 2.

С ростом концентрации активатора величины остаточной намагниченности ( $M_r$ ) возрастают, а величины коэрцитивного поля ( $B_c$ ) при низких температурах уменьшаются, а при высоких возрастают. Это связано с уменьшением размеров магнитных кластеров при увеличении количества оксидов железа в образцах. Поведение величин  $M_s$  активированных образцов системы сохраняет одинаковую тенденцию, и  $M_s$  систематически снижается с увеличением содержания немагнитной фазы. Меньшее содержание магнитной фазы, которая при синтезе встраивается в аморфную диамагнитную матрицу не должно способствовать увеличению размеров магнитоактивных кластеров, тогда как большая доля оксидов железа призвана благоприятствовать протеканию процессов кластеризации и росту размеров магнитных областей. Однако, в силу малых концентраций активатора, наличия сильных магнитных взаимодействий между ними, влияющих на диффузионные процессы, данные механизмы зародышеобразования в меньшей степени сказываются на условиях формирования магнитных кластеров, чем это можно было бы ожидать в случае активации стекол слабомагнитными наночастицами. При отжиге образцов активируются процессы коалесценции, и мелкие кристаллиты группируются, образуя более крупные кластеры. Наличие магнитоактивных кластеров подтверждается формой открытых петель гистерезиса, наблюдавшихся в области слабого магнитного поля.

#### 4. Заключение

Методом закалки из расплава синтезированы теллуритные стекла и стеклокерамика, активированные наноразмерными частицами магнетита. Рентгеноструктурные исследования подтверждают аморфное состояние стекол и подтверждают факт формирования кристаллической фазы в виде  $\gamma\text{-Fe}_2\text{O}_3$  в стеклокерамике. Результаты

исследования магнитных свойств свидетельствуют о формировании в процессе синтеза кластеров магнетита, которые приводят к усилиению интенсивности рамановского отклика и появлению слабого ферромагнитного отклика.

#### Финансирование работы

Авторы благодарны правительству Фландрии (Бельгия) и Post Doctoral Mandate PDM/16/108 (KU Leuven internal funds) за финансовую поддержку исследования (грант Methusalem) и В. Лозенко (ASML, Нидерланды) за помощь в проведении измерений.

#### Конфликт интересов

Авторы заявляют, что у них нет конфликта интересов.

#### Список литературы

- [1] J. Majzlan, S. Notz, P. Haase, E.I. Kamitsos, N.S. Tagiara, E. Dachs. *Geochemistry* **82**, 125915 (2022).
- [2] H.J.L. Clabel, G. Lozano, E. Marega, V.A.G. Rivera. *J. Non-Cryst. Solids* **553**, 120520 (2021).
- [3] О.А. Замятин, М.Ф. Чурбанов, Е.В. Замятин. *Неорган. материалы* **55**, 750 (2019).
- [4] I.V. García-Amaya, M.E. Zayas, J. Alvarado-Rivera, M. Cortez-Valadez, M. Pérez-Tello, N. Cayetano-Castro, F. Martínez-Suárez, A. Mendoza-Córdova. *J. Non-Cryst. Solids* **499**, 49 (2018).
- [5] J. de Clermont-Gallerande, D. Taniguchi, M. Colas, P. Thomas, T. Hayakawa. *Phys. Status Solidi B* **259**, 2200065 (2022).
- [6] R.P. Maiti, S. Basu, S. Bhattacharya, D. Chakravorty. *J. Non-Cryst. Solids* **355**, 2254 (2009).
- [7] W. Widanarto, M.R. Sahar, S.K. Ghoshal, R. Arifin, M.S. Rohani, M. Effendi. *Mater. Lett.* **108**, 289 (2013).
- [8] A.V. Egorysheva, T.I. Milenov, O.G. Ellert, G.V. Avdeev, P.M. Rafailov, N.N. Efimov, V.M. Novotortsev. *Solid State Sci.* **40**, 31 (2015).
- [9] H. Akamatsu, K. Tanaka, K. Fujita, S. Murai. *Phys. Rev. B* **74**, 012411 (2006).
- [10] К.Л. Белов. *УФН* **163**, 53 (1993).
- [11] W. Widanarto, M.R. Sahar, S.K. Ghoshal, R. Arifin, M.S. Rohani, K. Hamzah, M. Jandra. *Mater. Chem. Phys.* **138**, 174 (2013).

- [12] V.K. Tikhomirov, V.D. Rodríguez, A. Kuznetsov, D. Kirilenko, G. Van Tendeloo, V.V. Moshchalkov. Opt. Express **18**, 22032 (2010).
- [13] M.V. Shestakov, X.M. Chen, V. Kaydashev, W. Baekelant, V.K. Tikhomirov J. Vanacken, J. Hofkens, V.V. Moshchalkov. Opt. Mater. Express **4**, 1227 (2014).
- [14] V.D. Rodríguez, V.K. Tikhomirov, J.J. Velázquez, M.V. Shestakov, V.V. Moshchalkov. Adv. Opt. Mater. **1**, 747 (2013).
- [15] M. Dušek, V. Petříček. Materials Structure in Chemistry, Biology. Phys. Technol.. **7**, 2, 85 (2020).
- [16] M. Aliahmad, N.N. Moghaddam. Mater. Sci. Poland **31**, 2, 264 (2013).
- [17] S. Sakurai, A. Namai, K. Hashimoto, S. Ohkoshi. J. Am. Chem. Soc. **131**, 18299 (2009).
- [18] J. Tuček, L. Machala, S. Ono, A. Namai, M. Yoshiyuki, K. Imoto, H. Tokoro, S. Ohkoshi, R. Zbořík. Sci. Rep. **5**, 15091 (2015).
- [19] R. Grau-Crespo, A.Y. Al-Baitai, I. Saadoune, & N.H. De Leeuw. J. Phys.: Condens. Matter **22**, 25, 255401 (2010).
- [20] H.L. Andersen, B.A. Frandsen, H.P. Gunnlaugsson, M.R.V. Jørgensen, S.J.L. Billinge, K.M.Ø. Jenseng, M. Christensen. IUCrJ **8**, 33 (2021).
- [21] U. Holzwarth, N. Gibson. Nature Nanotechnol. **6**, 534 (2011).
- [22] V. Mote, Y. Purushotham, B. Dole. J. Theor. Appl. Phys. **6**, 1 (2012).
- [23] T. Sekiya, N. Mochida, A. Ohtsuka, M. Tonokawa. Nippon Seramikkusu Kyokai Rinbunshi **97**, 12, 1435 (1989)
- [24] A.L. Geiler, V.G. Harris, C. Vittria, N.X. Sun. J. Appl. Phys. **99**, 08B316 (2006).

Редактор Ю.Э. Кумасев